

[Abbildungen = Images]

Objekttyp: **Appendix**

Zeitschrift: **Bericht der Eidgenössischen Kommission zur Überwachung der Radioaktivität**

Band (Jahr): **19 (1975)**

PDF erstellt am: **23.07.2024**

Nutzungsbedingungen

Die ETH-Bibliothek ist Anbieterin der digitalisierten Zeitschriften. Sie besitzt keine Urheberrechte an den Inhalten der Zeitschriften. Die Rechte liegen in der Regel bei den Herausgebern.

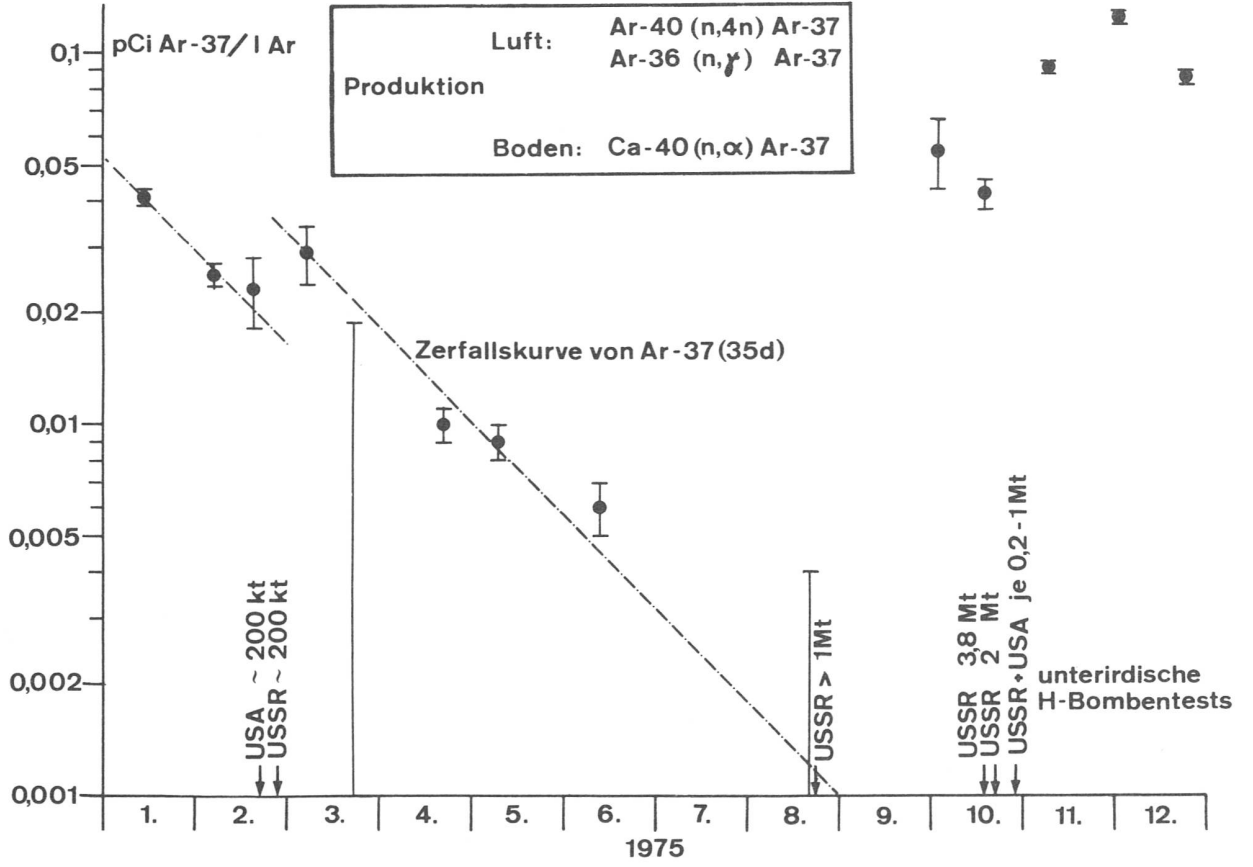
Die auf der Plattform e-periodica veröffentlichten Dokumente stehen für nicht-kommerzielle Zwecke in Lehre und Forschung sowie für die private Nutzung frei zur Verfügung. Einzelne Dateien oder Ausdrucke aus diesem Angebot können zusammen mit diesen Nutzungsbedingungen und den korrekten Herkunftsbezeichnungen weitergegeben werden.

Das Veröffentlichen von Bildern in Print- und Online-Publikationen ist nur mit vorheriger Genehmigung der Rechteinhaber erlaubt. Die systematische Speicherung von Teilen des elektronischen Angebots auf anderen Servern bedarf ebenfalls des schriftlichen Einverständnisses der Rechteinhaber.

Haftungsausschluss

Alle Angaben erfolgen ohne Gewähr für Vollständigkeit oder Richtigkeit. Es wird keine Haftung übernommen für Schäden durch die Verwendung von Informationen aus diesem Online-Angebot oder durch das Fehlen von Informationen. Dies gilt auch für Inhalte Dritter, die über dieses Angebot zugänglich sind.

Fig. 1. Ar-37 in der Luft von Bern (BE)
Ar-37 dans l'air à Berne (BE)



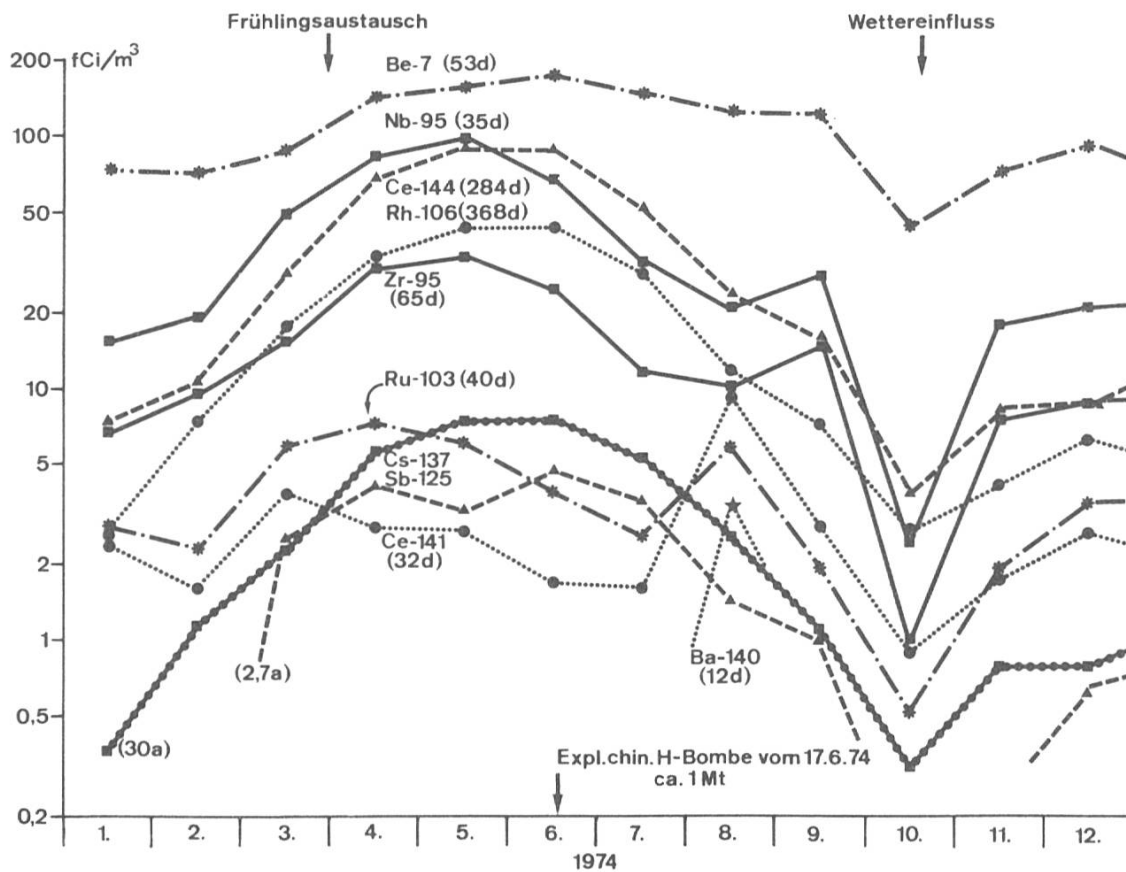


Fig. 2. Spaltprodukte und Be-7 in der Bodenluft von Freiburg 1974 (oben) und 1975 (gegenüberliegende Seite). Angaben in fCi/m³ (1000 fCi = 1 pCi) (FR)

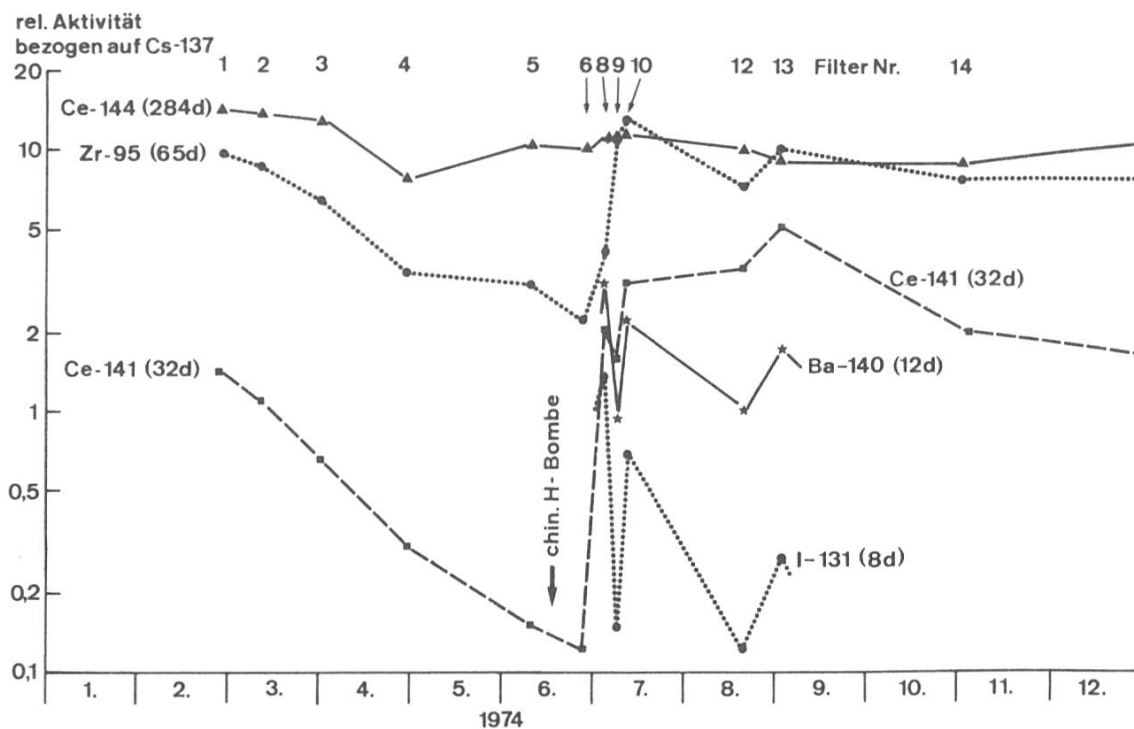
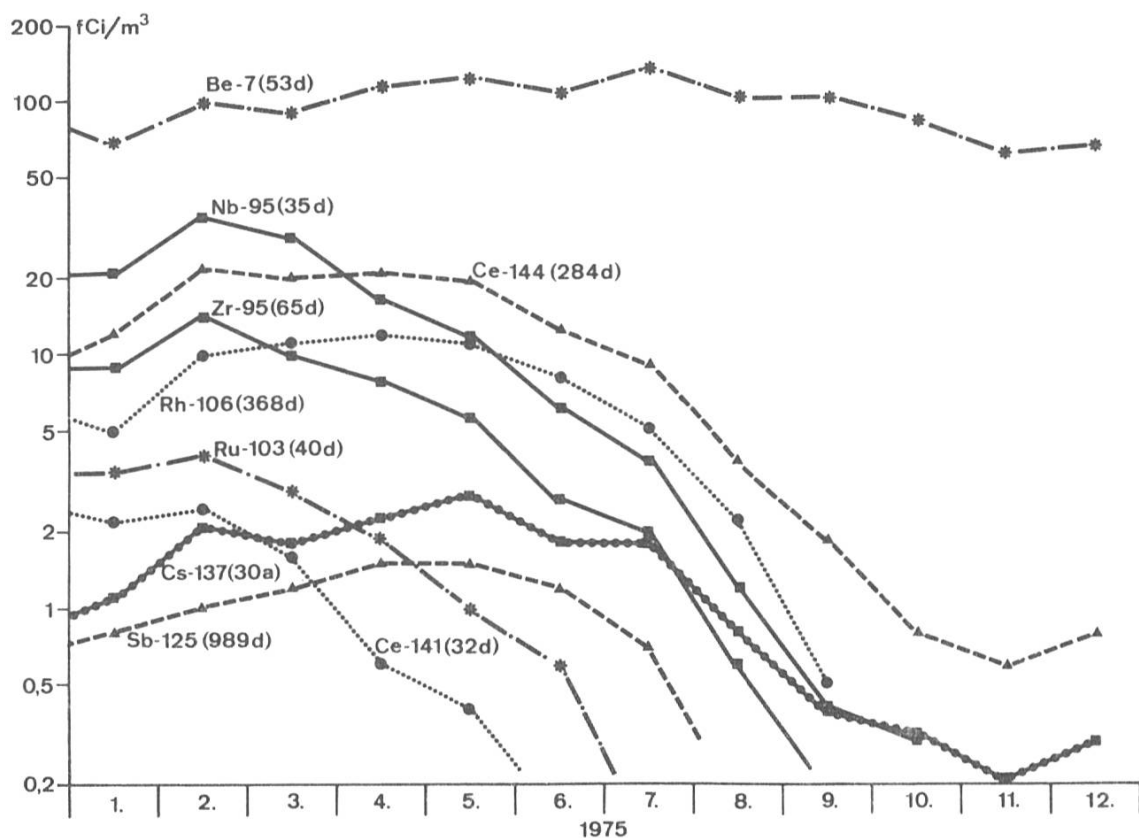
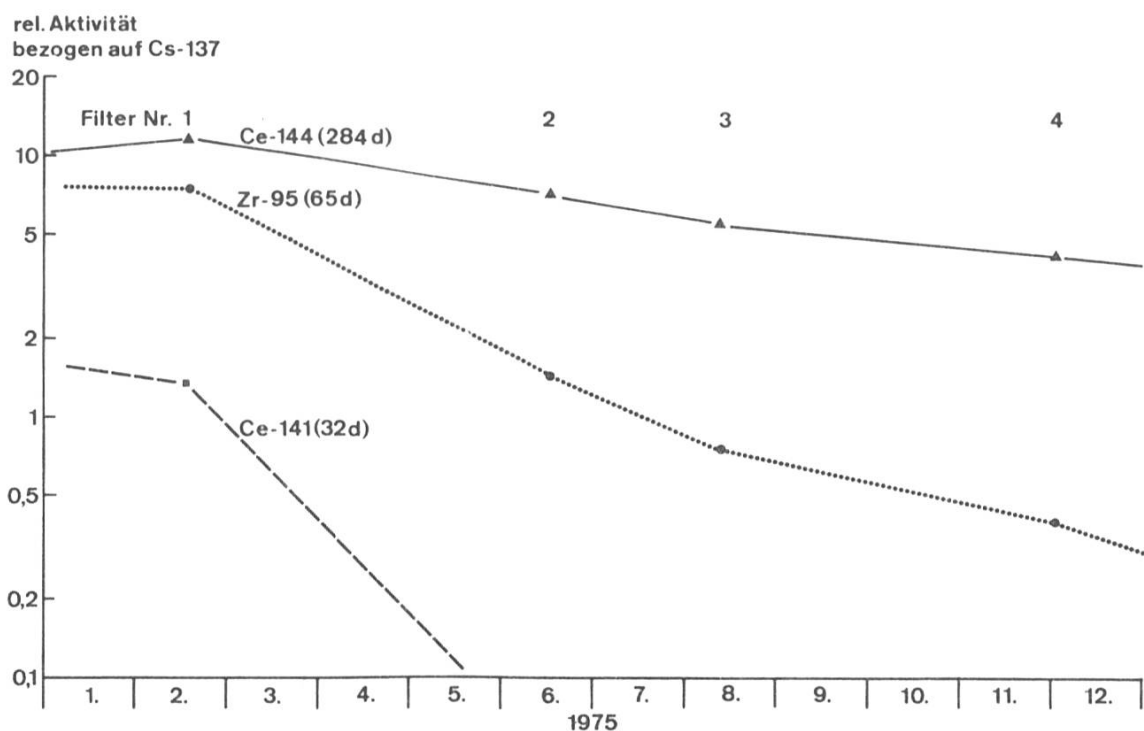


Fig. 3. Relative Aktivitäten, bezogen auf Cs-137 (= 1), einiger Spaltprodukte in der Höhenluft zwischen 8000 und 14000 m, 1974 (oben) und 1975 (gegenüberliegende Seite) (FR)



Produits de fission et Be-7 dans l'air à Fribourg, 1974 (p. précédente) et 1975 (ci-dessus). Valeurs en fCi/m³ (1000 fCi = 1 pCi) (FR)



Activités relatives, rapportées au Cs-137 (= 1), de quelques produits de fission dans l'air entre 8000 et 14000 m d'altitude, 1974 (p. précédente) et 1975 (ci-dessus) (FR)

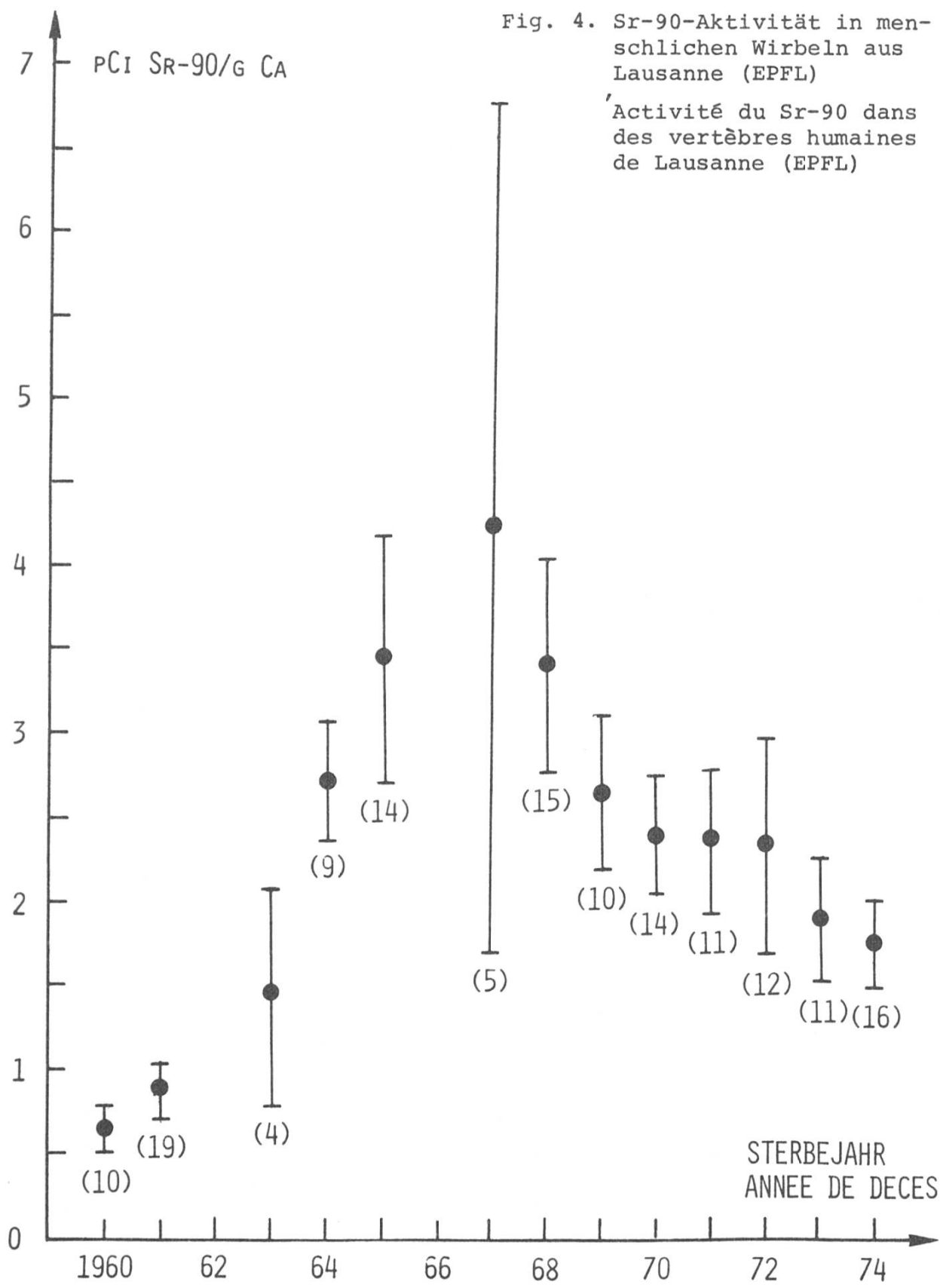


Fig. 4. Sr-90-Aktivität in menschlichen Wirbeln aus Lausanne (EPFL)
 'Activité du Sr-90 dans des vertèbres humaines de Lausanne (EPFL)

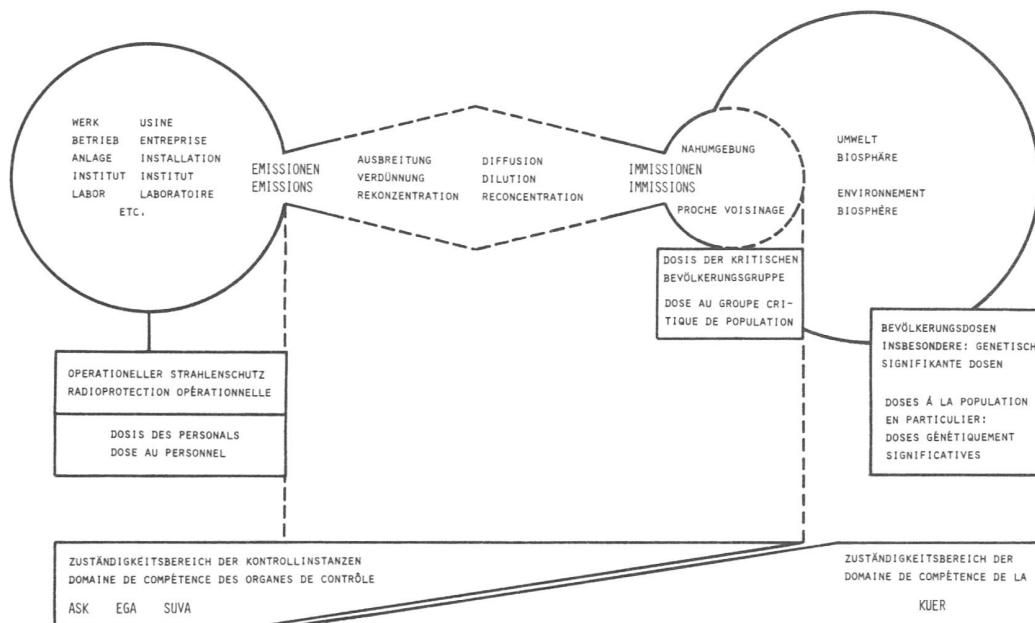


Fig. 5. Ueberwachung der Radioaktivität und Kontrolle des Strahlenschutzes in der Schweiz: synoptische Darstellung der Zuständigkeiten. ASK: Abt. für die Sicherheit der Kernanlagen; EGA: Eidg. Gesundheitsamt; SUVA: Schweiz. Unfallversicherungsanstalt; KUER: Eidg. Kommission zur Ueberwachung der Radioaktivität

Surveillance de la radioactivité et contrôle de la radioprotection en Suisse: présentation synoptique des compétences. ASK: Div. pour la sécurité des installations nucléaires; EGA: Service féd. de l'hygiène publique; SUVA: Caisse nationale suisse d'assurance en cas d'accidents; KUER: Commission féd. de surveillance de la radioactivité

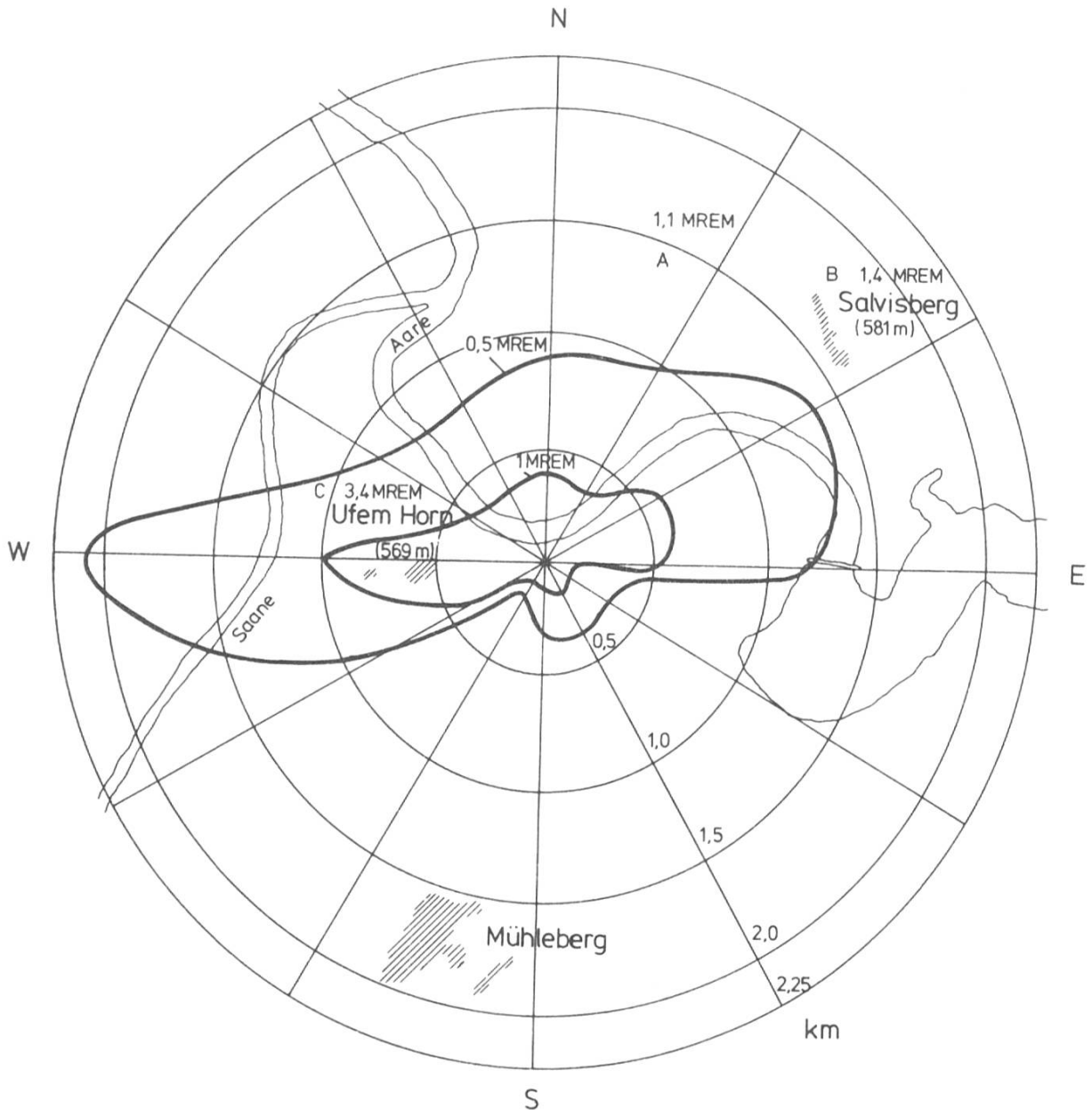


Fig. 6. Berechnete Isodosenlinien für die jährliche Gesamtkörperdosis durch Gammastrahlung (Submersion) aus der Abluftfahne des Kernkraftwerks Mühleberg aufgrund der Abgaben im Kalenderjahr 1975. Es wurde eine kontinuierliche Emission auf einer Höhe von 180 m über einer Ebene angenommen; für die Punkte A, B und C ist die Höhenlage zur Berechnung berücksichtigt (ASK)

Courbes d'égales doses annuelles au corps entier dues au rayonnement gamma (submersion) provenant du panache d'effluents gazeux de la centrale nucléaire de Mühleberg, calculées sur la base des rejets en 1975. On a admis une émission continue à une hauteur de 180 m au-dessus d'une surface plane; pour les points A, B et C, on a tenu compte dans le calcul de l'altitude (ASK)

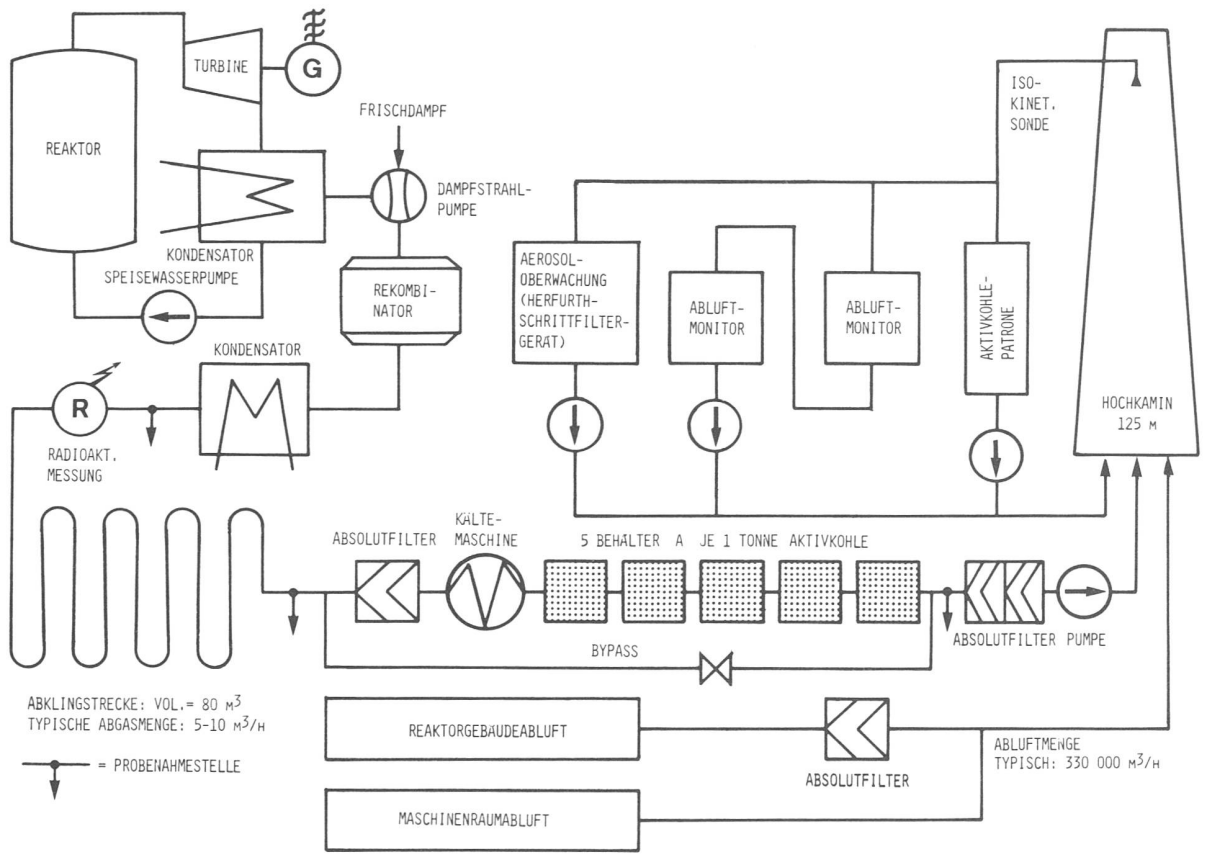
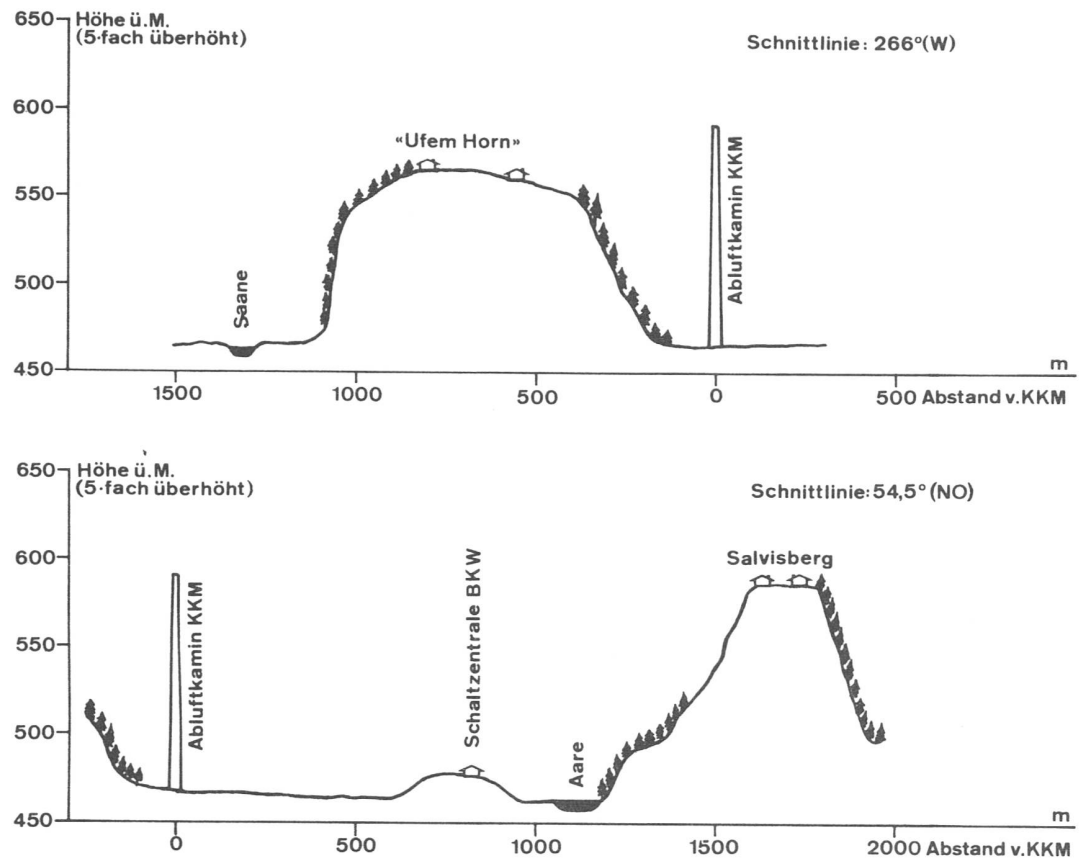


Fig. 7. Schema der Abgas- Abluft-Anlage im Kernkraftwerk Mühlberg

Schema du système de traitement et de contrôle des gaz d'échappement à la centrale nucléaire de Mühlberg

Fig. 8. Geländeschnitte in den Haupt-Windrichtungen beim Kernkraftwerk Mühlberg
 Profils du terrain dans les directions principales du vent au voisinage de la centrale nucléaire de Mühlberg



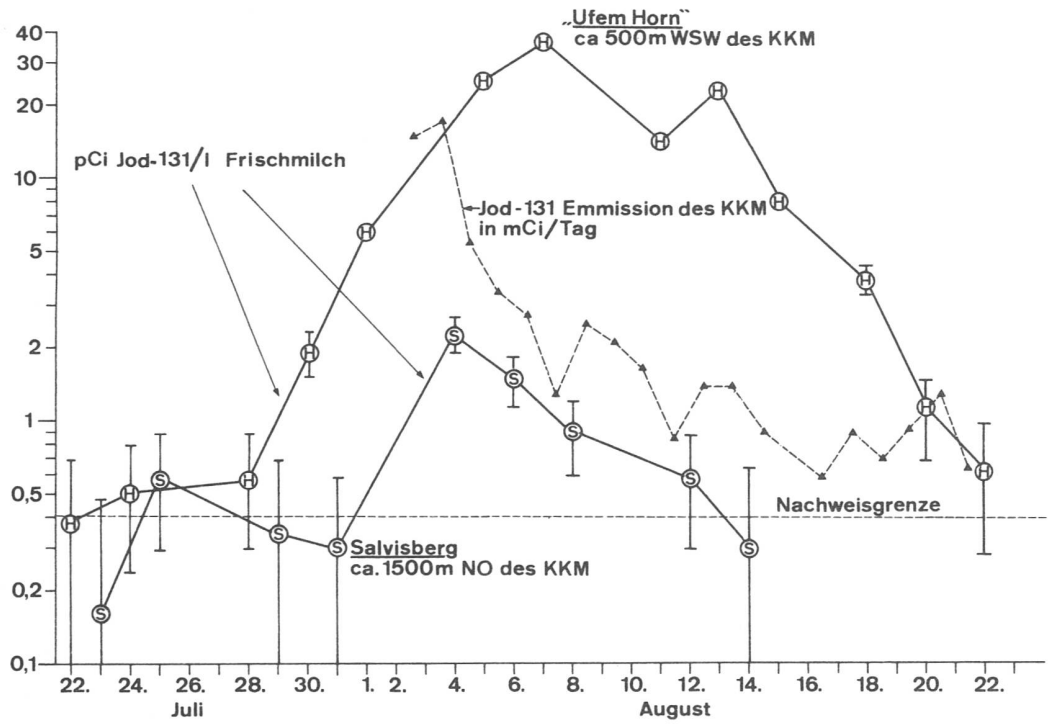


Fig. 9. Jod-131-Emission aus dem Kernkraftwerk Mühleberg und Jod-131-Gehalt in der Milch von ausgewählten Stellen in den Haupt-Windrichtungen, Juli/August 1975 (Genauigkeit an der Nachweisgrenze: $\pm 50\%$ bei einfacher Standardabweichung) (FR)

Emission d'iode-131 par la centrale nucléaire de Mühleberg et teneur en iode-131 de lait provenant d'endroits choisis dans les directions principales du vent, juillet/aout 1975 (Précision à la limite de détection: $\pm 50\%$ au niveau de confiance de 68%) (FR)

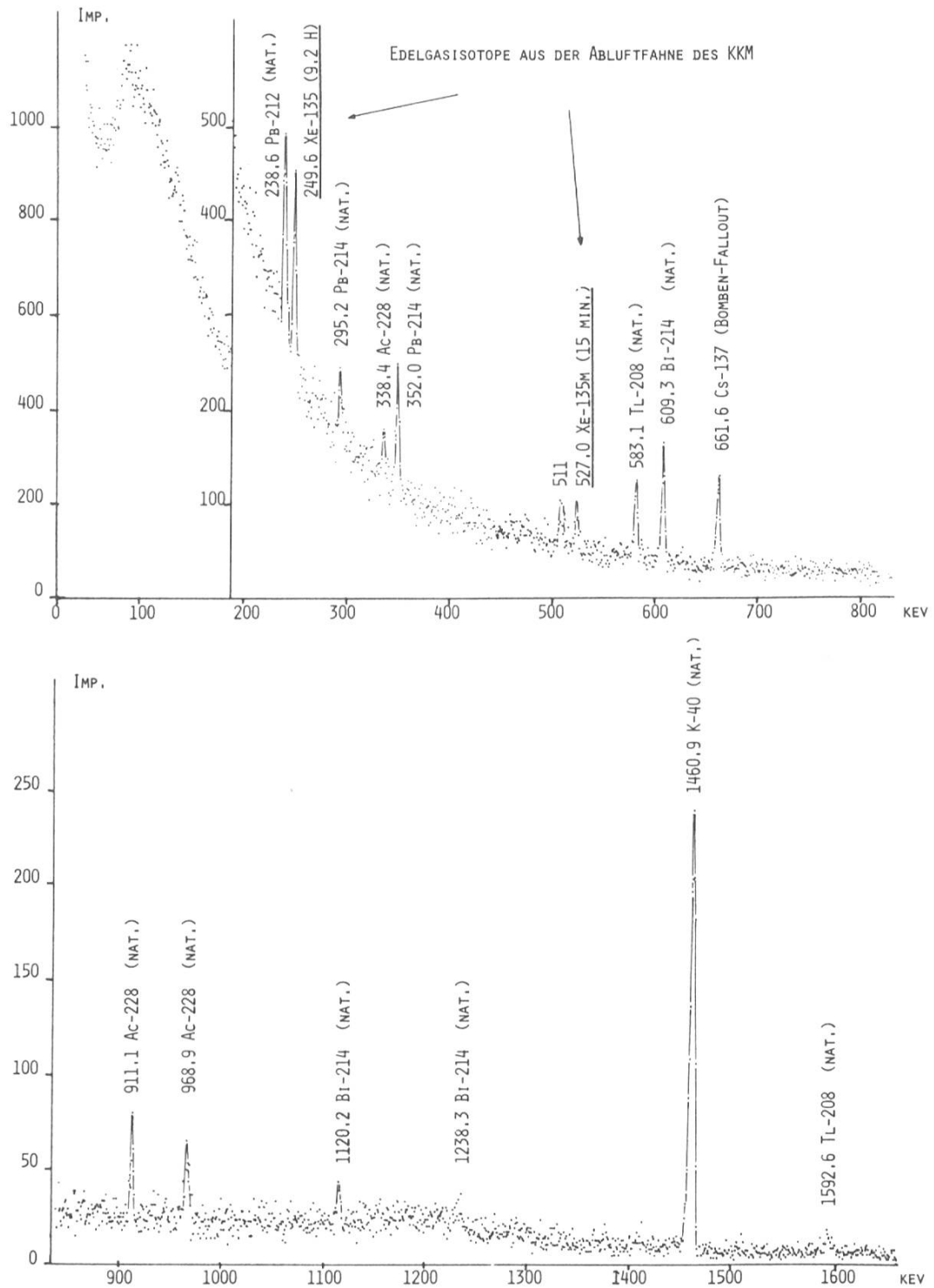


Fig. 10. Gammaspektrum einer Feldmessung mit Ge-Li-Detektor beim Schulhaus Oberei (1300 m SO des KKW Mühleberg), nach Schnellabschaltung des Reaktors. Datum: 25.7.1975, Messdauer: 3 Stunden (FR, ASK)

Spectre gamma obtenu avec un détecteur Ge-Li lors d'une mesure en campagne près de l'école d'Oberei (1300 m SE de la centrale nucléaire de Mühleberg), après un arrêt rapide du réacteur. Date: 25.7.1975, durée de la mesure: 3 heures (FR, ASK)

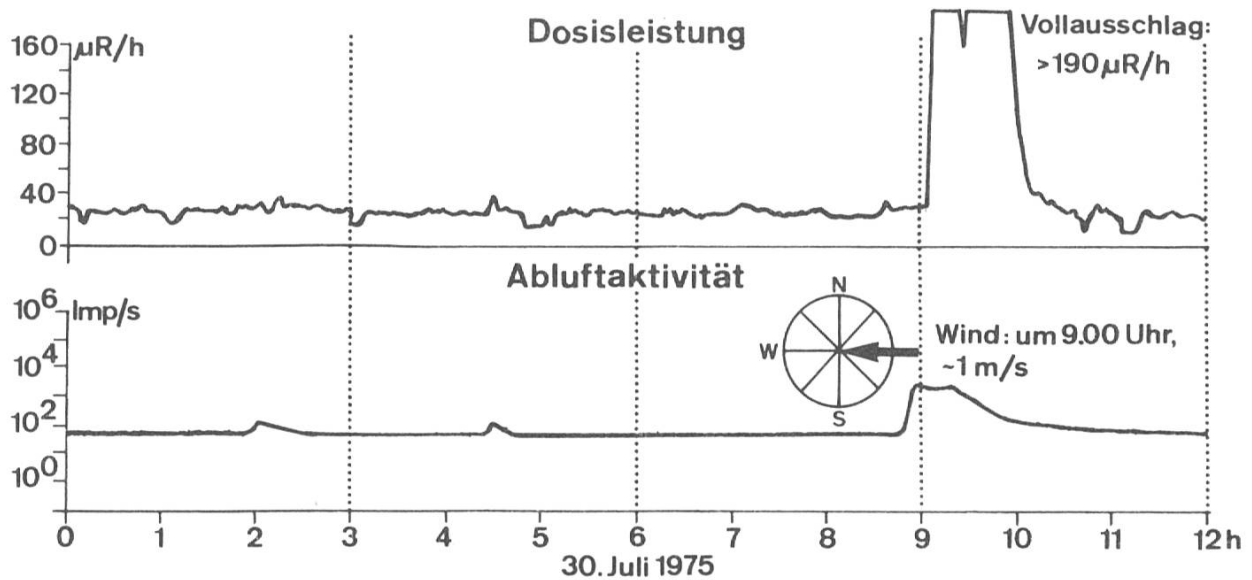
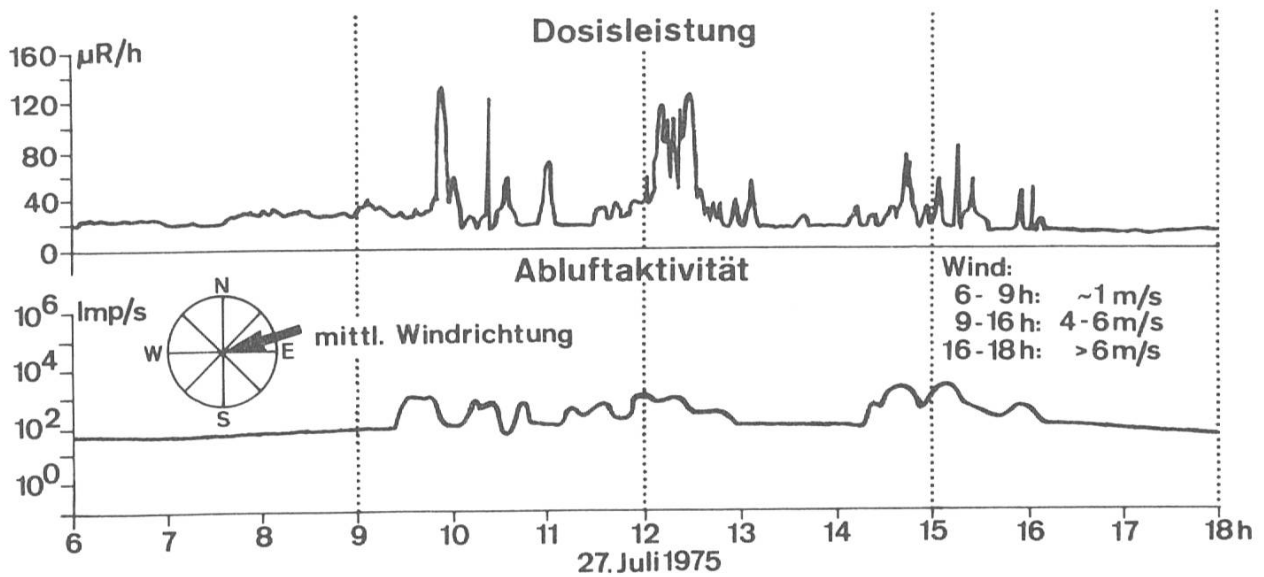


Fig. 11. Registrierungen beim Kernkraftwerk Mühleberg in der Abschaltphase des Reaktors (FR). Dosisleistung "Ufem Horn"; Aktivität der Abluft im Kamin (zwei Detektoren, log. Skala)

Enregistrements à la centrale nucléaire de Mühleberg pendant la phase d'arrêt du réacteur (FR). Débit de dose à "Ufem Horn"; activité des effluents gazeux dans la cheminée (deux détecteurs, échelle log.)

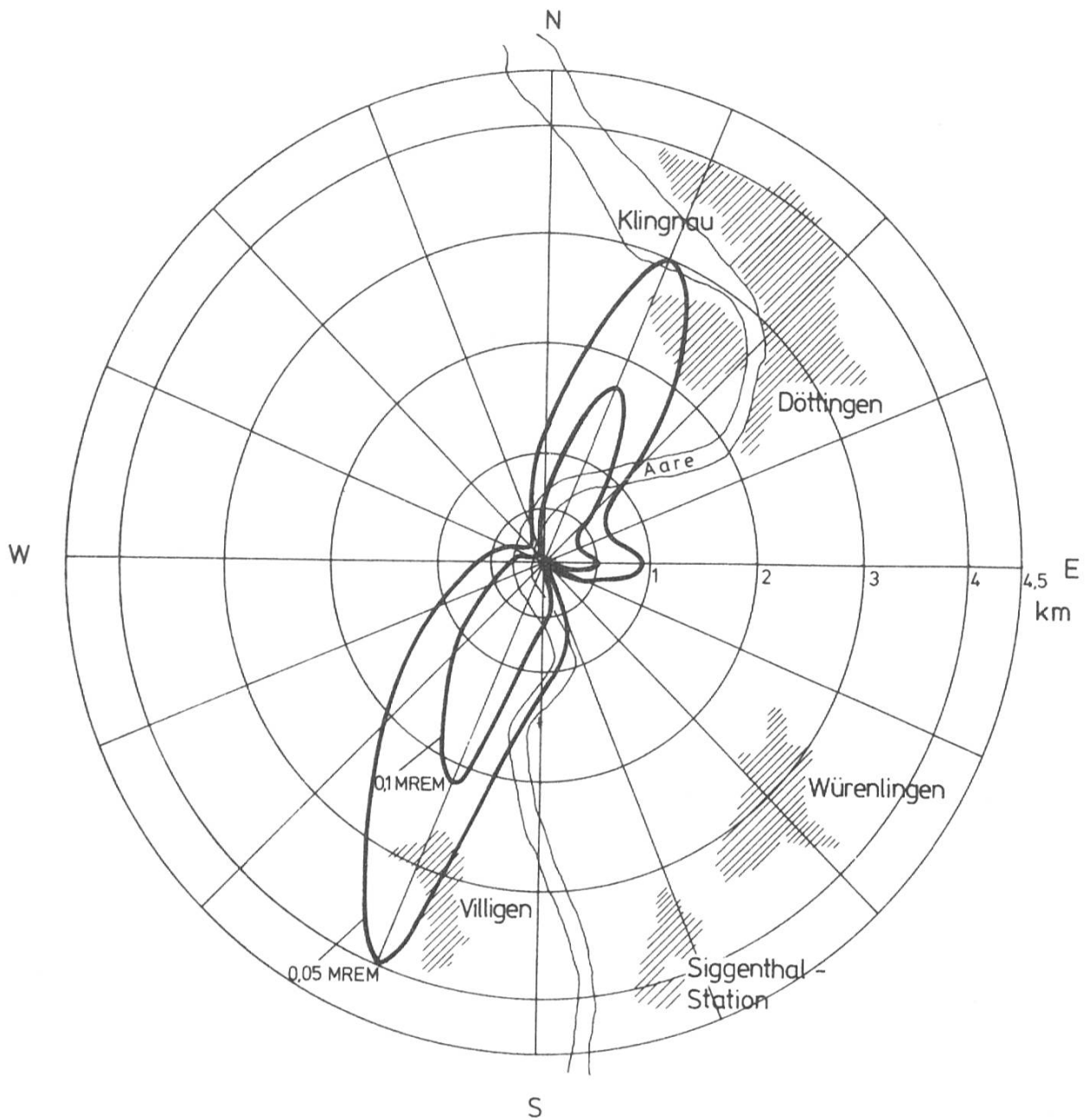
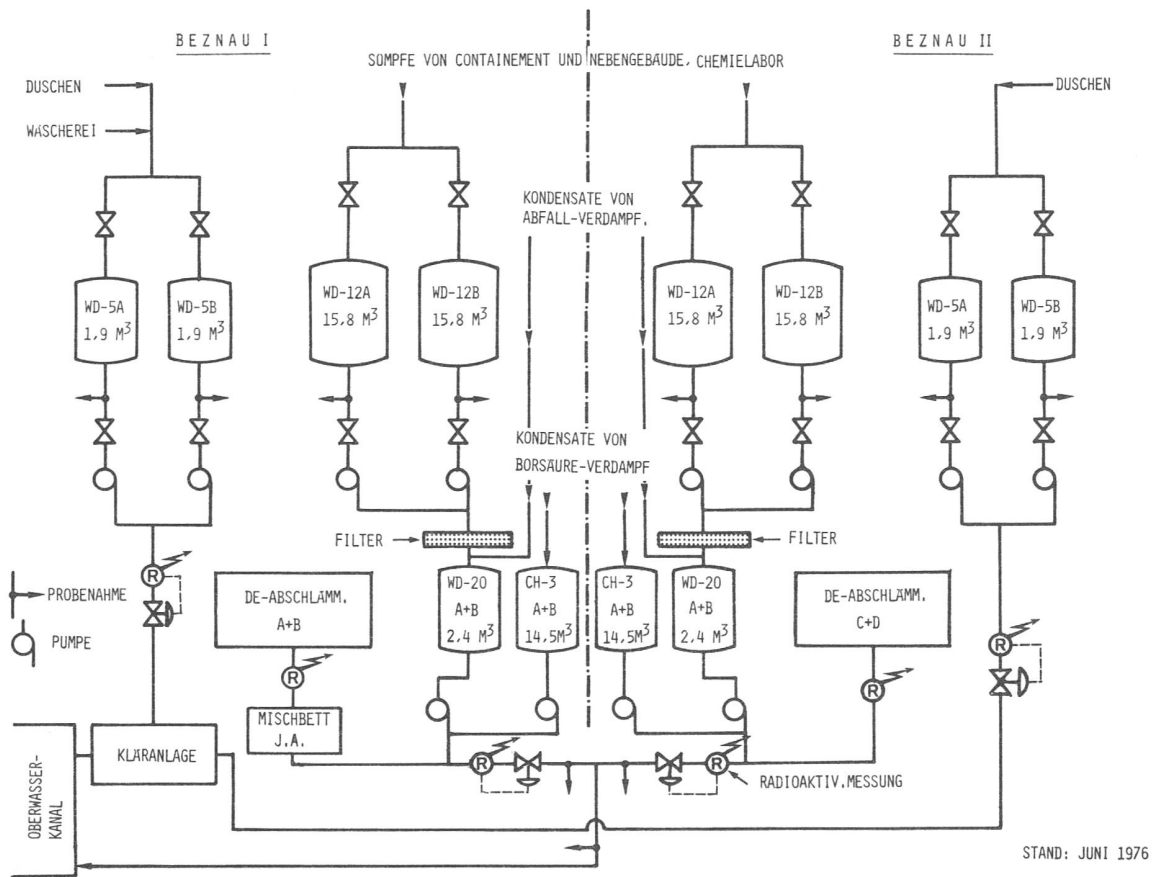


Fig. 12. Berechnete Isodosenlinien für die jährliche Gesamtkörperdosis durch Gammastrahlung (Submersion aus der Abluftfahne) der Kernkraftwerke Beznau I und II aufgrund der Abgaben im Kalenderjahr 1975. Es wurde eine kontinuierliche Emission auf einer Höhe von 30 m über einer Ebene angenommen (ASK)

Courbes d'égales doses annuelles au corps entier dues au rayonnement gamma (submersion) provenant du panache d'effluents gazeux des centrales nucléaires Beznau I et II, calculées sur la base des rejets en 1975. On a admis une émission continue à une hauteur de 30 m au-dessus d'une surface plane (ASK)

Fig. 13. Schema der Abwasser-Anlage in den KKW Beznau I und II
 Schéma du système de traitement et de contrôle des eaux
 usées aux centrales nucléaires Beznau I et II



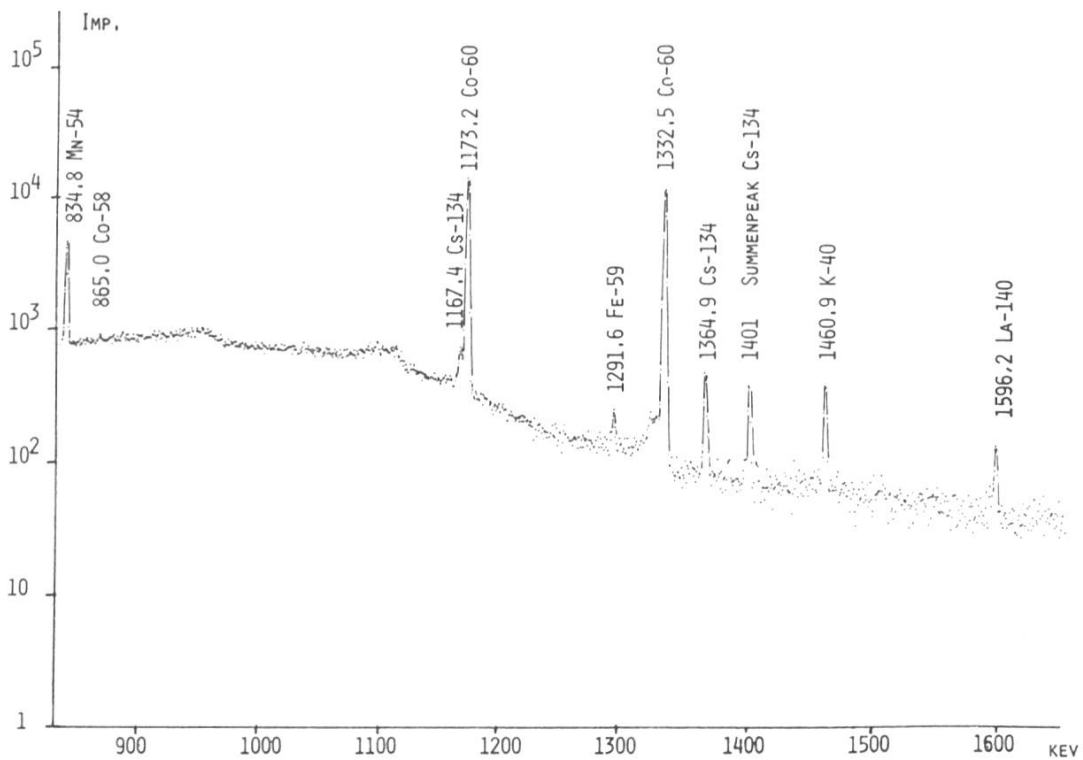
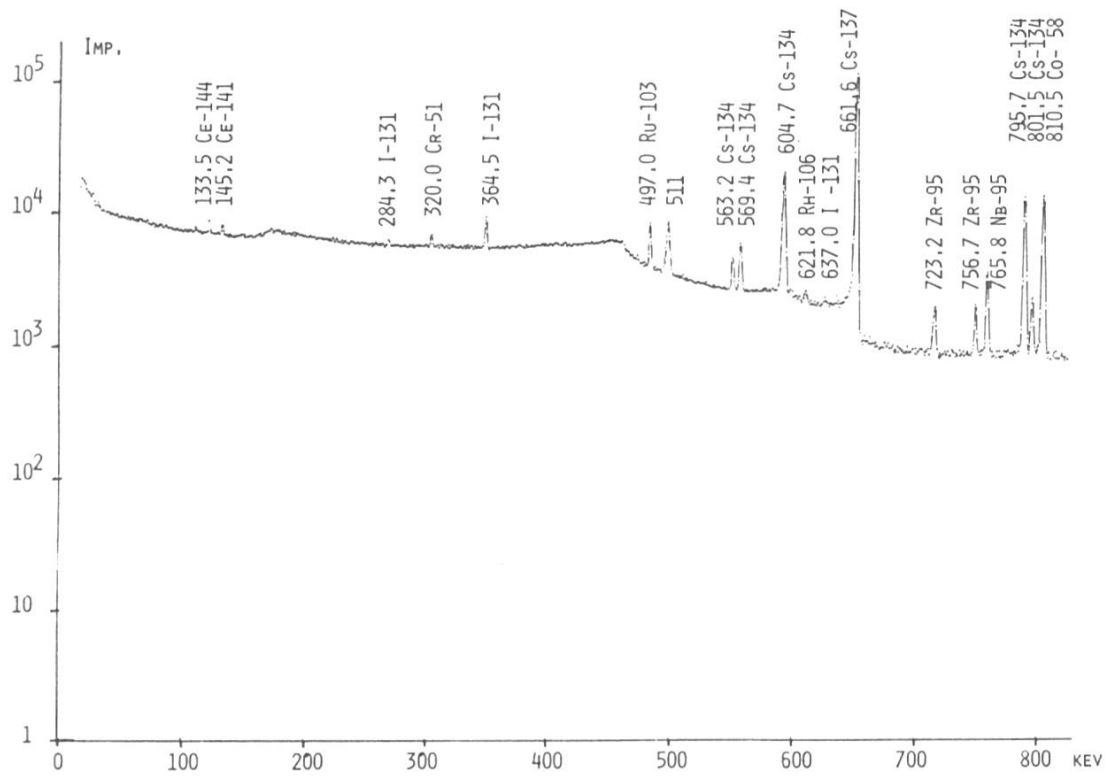


Fig. 14. Gammaspektrum von 5 Liter filtriertem Wasser aus der Klärgrube der KKW Beznau. Entnahme: 20.6.75; Messung: 29.6.75 mit Ge-Li-Diode während 40000 s (FR)

Spectre gamma de 5 litres d'eau filtrée provenant de la fosse d'épuration de la centrale nucléaire de Beznau. Prélèvement: 20.6.75; mesure: 29.6.75 avec une diode Ge-Li pendant 40000 s (FR)

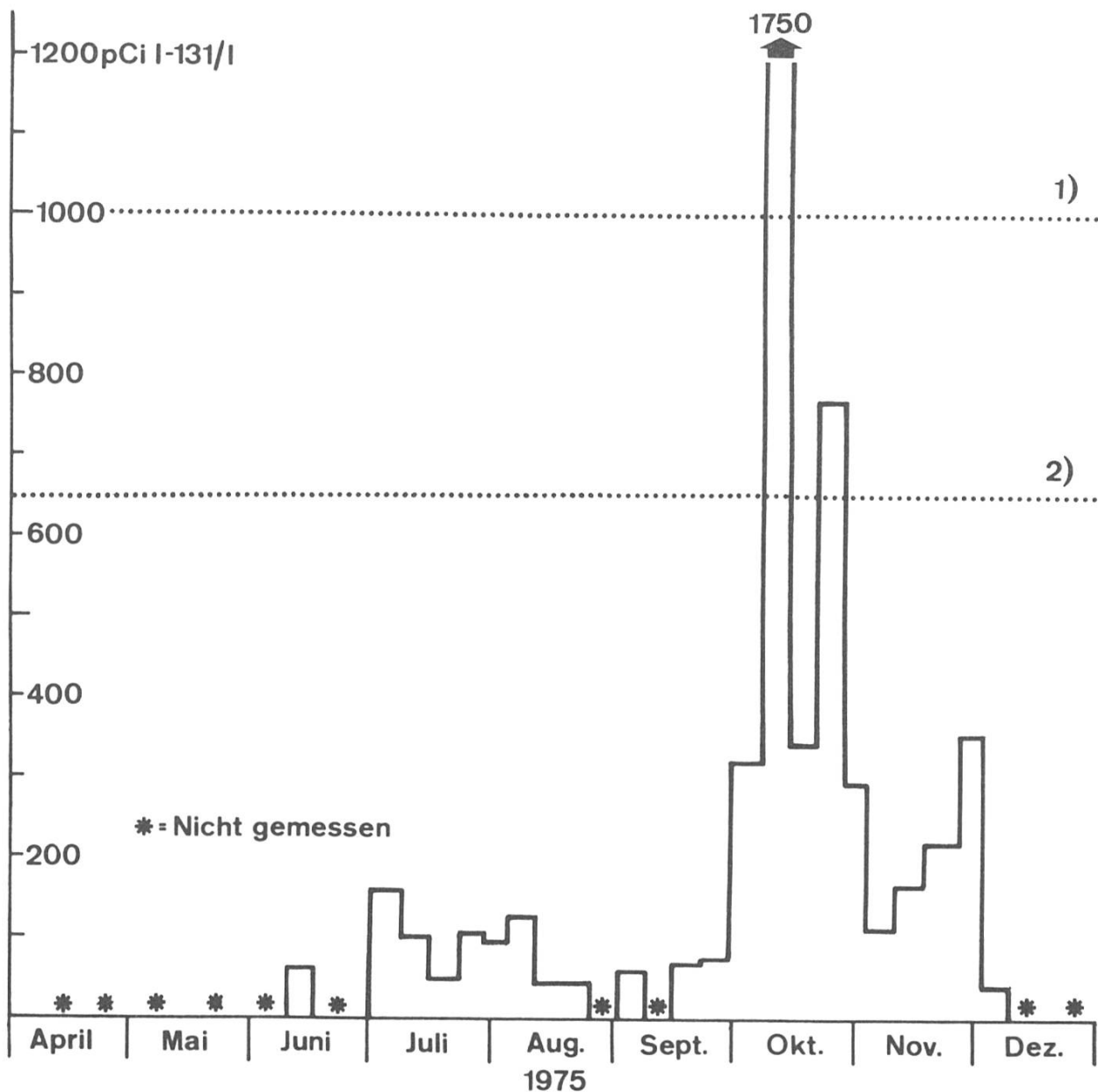


Fig. 15. J-131-Aktivität am Ausfluss der Abwasserreinigungsanlage Zürich-Werdhölzli (FR)

- 1) Höchstzulässige Aktivitätskonzentration im Abwasser gemäss Strahlenschutzverordnung 1963
- 2) Höchstzulässige Trinkwasserkonzentration für die Gesamtbevölkerung

Activité du J-131 à la sortie de la station d'épuration des eaux usées de Zürich-Werdhölzli (FR)

- 1) Concentration maximale admissible dans les eaux usées d'après l'ordonnance concernant la protection contre les radiations de 1963
- 2) Concentration maximale admissible dans l'eau potable pour la population dans son ensemble

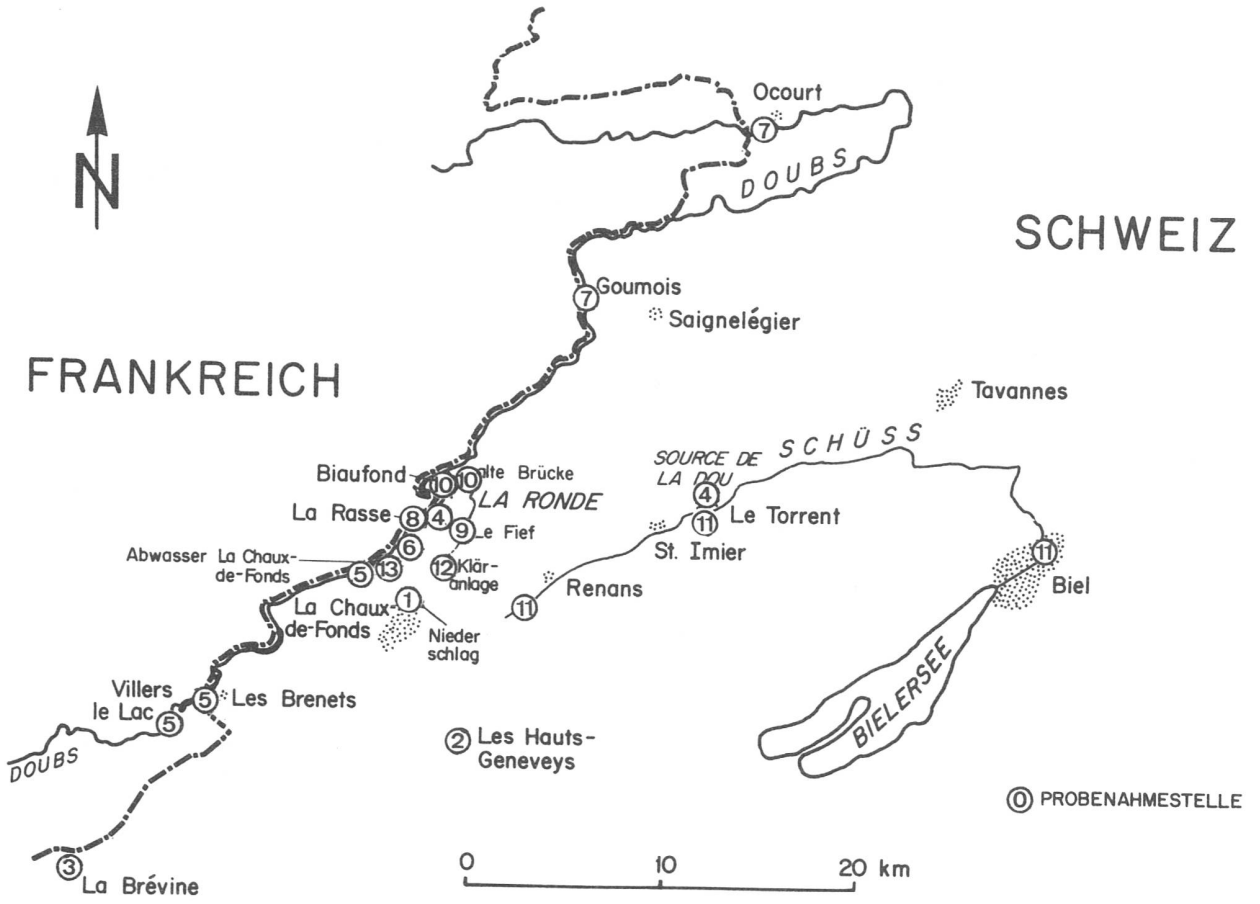


Fig. 16. Probenahmestellen für Tritium in Wasser im Raum La Chaux-de-Fonds, Zahlen vgl. Tab. 9 (EAWAG)

Points de prélèvement d'échantillons pour la détermination du tritium dans l'eau dans la région de La Chaux-de-Fonds, cf. tabl. 9 pour les numéros (EAWAG)

ABWASSER – EAUX RESIDUAIRES 1975

- 35 -

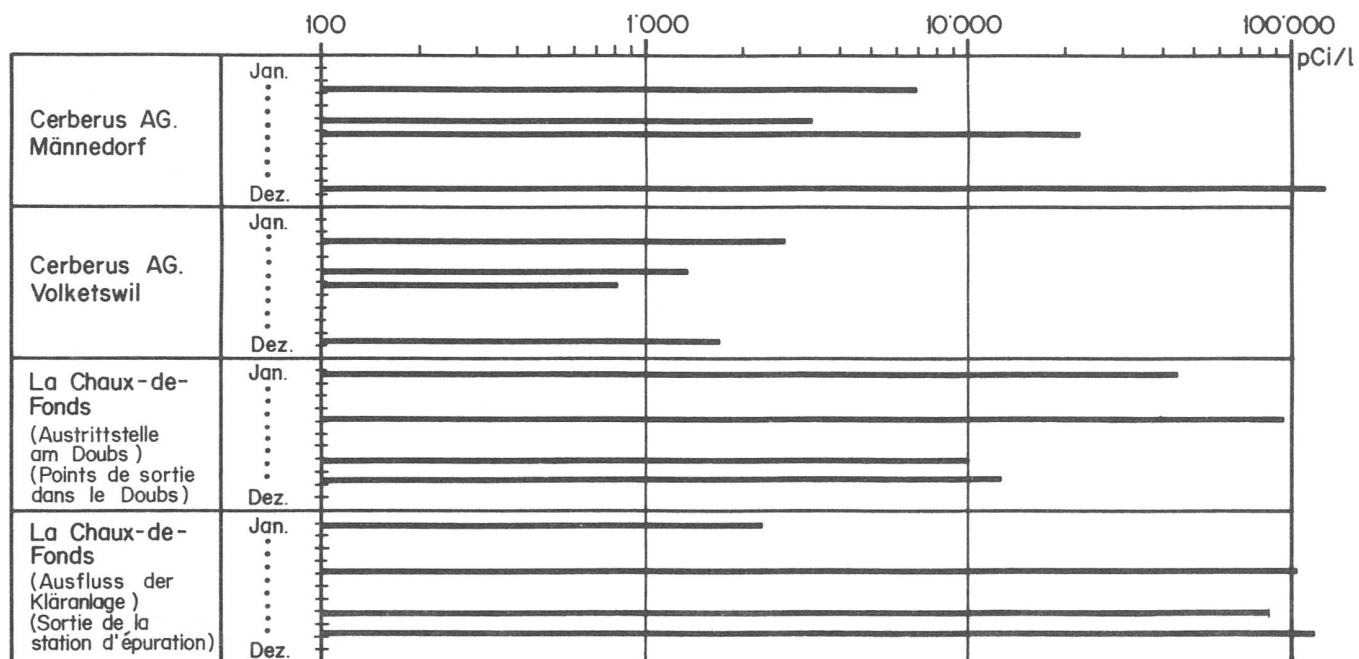


Fig. 17. Tritium-Aktivität in Abwasser - Activité du tritium dans les eaux résiduaires (EAWAG)